

ІНТЕГРАЛЬНО-ФУНКЦІОНАЛЬНЕ ЗОБРАЖЕННЯ МАСОВОГО ОПЕРАТОРА КВАЗІЧАСТИНОК, ЩО ВЗАЄМОДІЮТЬ ІЗ ПОЛЯРИЗАЦІЙНИМИ ФОНОНАМИ ПРИ $T = 0$ К

М. В. Ткач

*Чернівецький національний університет,
вул. Коцюбинського, 2, Чернівці, 274012, Україна*

(Отримано 31 липня 2001 р.; в остаточному вигляді — 18 грудня 2001 р.)

Уперше отримано інтегрально-функціональне зображення масового оператора безспінових квазічастинок, що взаємодіють із поляризаційними фононами при $T = 0$ К. Це зображення еквівалентне безмежному розгалуженому інтегральному дробові. Воно не залежить від сили зв'язку й ефективно враховує багатофоновні процеси.

Ключові слова: електрон, фонові, взаємодія, інтерфейс, наногетеросистема.

PACS number(s): 79.60.Jv

I. ВСТУП

Зображення масового оператора (МО) у вигляді діаграм Фейнмана чи Пайнса [1,2] в теорії взаємодії квазічастинок із поляризаційними фононами при врахуванні багатофоновних процесів стикаються з двома проблемами. Перша, менш суттєва, полягає в тому, що кількість доданків МО певного порядку швидко збільшується зі збільшенням степеня функцій зв'язку (кількості вершин у діаграмі). Друга, дуже суттєва, полягає в математичних особливостях скінченного числа діаграм усіх складових МО, що описуються діаграмами Фейнмана чи Пайнса. Добре відомо, що ці особливості такі, що врахування будь-якої великої, але скінченної кількості діаграм МО принципово не дає змоги отримати достатньо точних значень енергій збуджених станів системи квазічастинок, які взаємодіють з фононами (фонових повторень). У зв'язку з цим виникає питання: чи дозво-

ляє топологічна структура діаграм МО виконати такі точні парціальні підсумовування безмежних рядів діаграмної техніки (ДТ), які б дозволили уникнути згаданих проблем. Повний МО, згідно з діаграмною технікою Пайнса, має вигляд, зображений на рис. 1, де, як відомо [2], у кожній діаграмі вершини зіставляються з відповідними функціями зв'язку, а суцільні лінії — з енергетичними знаменниками. Детальний аналіз діаграм МО в техніці Пайнса ($T = 0$ К) показує, що їхня топологічна структура, яка містить два класи діаграм (компактних і некомпактних), дозволяє зобразити МО (рис. 1) в інтегрально-функціональному або в еквівалентному до нього вигляді безмежного гіллястого інтегрального (сумарного) нескінченного дробу. Таке зображення є не лише позитивною відповіддю на сформульоване питання, але й конструктивним у практичному застосуванні при розв'язуванні задач, де суттєво необхідно враховувати багатофоновні процеси.

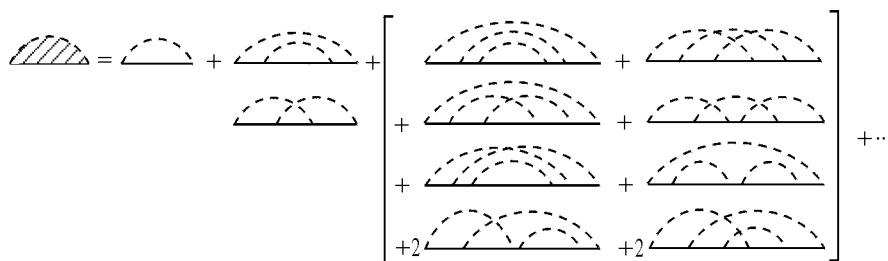


Рис. 1.

II. ПОСЛІДОВНЕ ПАРЦІЯЛЬНЕ ПЕРЕНОРМУВАННЯ ДІАГРАМ МО

Отримаємо інтегрально-функціональне зображення МО квазічастинок (безспінових електронів, домішок чи екситонів), що взаємодіють з фононами поляризаційного типу. Таку систему описують гамільтонієм фредліхівського типу

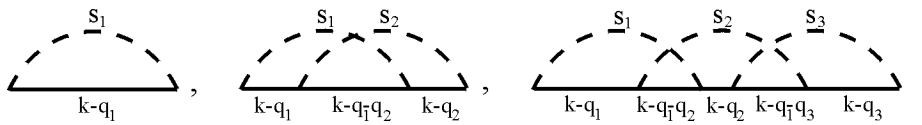
$$H = \sum_{\mathbf{k}} \mathcal{E}_{\mathbf{k}} a_{\mathbf{k}}^{\dagger} a_{\mathbf{k}} + \sum_{\mathbf{k}, s=\lambda, \mathbf{q}} F(\mathbf{k}, s) a_{\mathbf{k}+\mathbf{q}}^{\dagger} a_{\mathbf{k}} (b_s + b_{-s}^{\dagger}) + \sum_{s=\lambda, \mathbf{q}} \Omega_s (b_s^{\dagger} b_s + 1/2), \quad (1)$$

де $\mathcal{E}_{\mathbf{k}}, \Omega_s$ — енергії квазічастинок (квазіімпульсу \mathbf{k}) та фононів (гілки λ , квазіімпульсу \mathbf{q}), а $F(\mathbf{k}, s)$ — функції зв'язку квазічастинок із фононами.

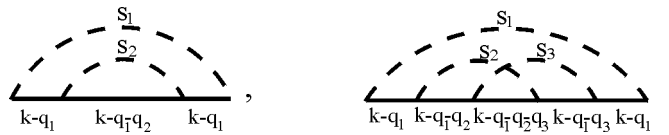
При $T = 0$ К діяграмна техніка Пайнса однакова для всіх безспінових квазічастинок і задається відомими правилами [1,2], головним з яких є правило зіставлення

$$\overrightarrow{\mathbf{k} - \sum_{\ell=1}^n \mathbf{q}_{\ell}} = E_{\mathbf{k} - \sum_{\ell=1}^n \mathbf{q}_{\ell}}^{-1} = \left(\omega - \mathcal{E}_{\mathbf{k} - \sum_{\ell=1}^n \mathbf{q}_{\ell}} - \sum_{\ell=1}^n \Omega_{s_{\ell}} \right)^{-1}. \quad (2)$$

Щоб отримати інтегрально-функціональне зображення МО, спочатку необхідно здійснити послідовне парціальне підсумовування діяграм МО. З цією метою введемо означення компактних діяграм МО як таких, що не містять у собі хоча б двох суцільних ліній з однаковими індексами. Наприклад,



Діяграми, які містять у собі хоча б дві суцільні лінії з однаковими індексами, є некомпактними. Наприклад,



Як видно з діяграмного зображення повного МО (рис. 1) на основі компактної діяграми , вся безмежна сукупність діяграм без перетину фононних ліній точно підсумовується в одноразово перенормовану (одна вертикальна риска на суцільній лінії) діяграму першого порядку

$$\overrightarrow{\mathbf{k} - \mathbf{q}_1} = \overrightarrow{\mathbf{k} - \mathbf{q}_1} + \overrightarrow{\mathbf{k} - \mathbf{q}_1, \mathbf{q}_2} + \overrightarrow{\mathbf{k} - \mathbf{q}_1, \mathbf{q}_2, \mathbf{q}_3} + \dots \quad (3)$$


Аналітичний вираз, еквівалентний діяграмному рядові (3) вперше отримав Пайнс [2]. Відповідно одноразово (верхній індекс) перенормований МО першого порядку (нижній індекс) за числом фононних ліній має вигляд безмежного ланцюгового інтегрального дробу (БЛЦД)

$$M_1^1(\mathbf{k}, \omega) = \sum_{s_1} \frac{|F(\mathbf{k}, s_1)|^2}{E_{\mathbf{k} - \mathbf{q}_1} - \sum_{s_2} \frac{|F(\mathbf{k} - \mathbf{q}_1, s_2)|^2}{E_{\mathbf{k} - \mathbf{q}_1 - \mathbf{q}_2} - \dots - \sum_{s_n} \frac{|F(\mathbf{k} - \sum_{\ell=1}^{n-1} \mathbf{q}_{\ell}, s_n)|^2}{E_{\mathbf{k} - \sum_{\ell=1}^n \mathbf{q}_{\ell}} - \dots}}}. \quad (4)$$

або еквівалентне інтегрально-функціональне зображення перенормованого МО першого порядку

$$\overrightarrow{\mathbf{k} - \mathbf{q}_1} = M_1^1(\mathbf{k}, \omega) = \sum_{s_1} \frac{|F(\mathbf{k}, s_1)|^2}{E_{\mathbf{k} - \mathbf{q}_1} - M_1^1(\mathbf{k} - \mathbf{q}_1, \omega - \Omega_{s_1})}. \quad (5)$$

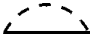
Процедуру послідовного перенормування компактних діаграм МО вищих порядків у діаграмній техніці Пайнса, наскільки відомо, не здійснювали, хоча вона виявляється не лише можливою, але й приводить до точного інтегрально-функціонального зображення МО з конструктивним урахуванням багатодіаграмних процесів. Цю процедуру здійснюємо так.

З діаграмної структури МО (рис. 1) видно, що серед усіх діаграм є сукупність, яка містить компактну діаграму другого порядку , і безмежний ряд діаграм, які, згідно з правилами діаграмної техніки Пайнса, згортаються в одноразово перенормовану компактну діаграму МО другого порядку

$$\begin{aligned}
 \begin{array}{c} \text{S}_1 \quad \text{S}_2 \\ \text{---} \text{---} \text{---} \\ | \quad | \quad | \\ \text{k-q}_1 \quad \text{k-q}_1\text{q}_2 \quad \text{k-q}_2 \end{array} &= \begin{array}{c} \text{S}_1 \quad \text{S}_2 \\ \text{---} \text{---} \text{---} \\ | \quad | \quad | \\ \text{k-q}_1 \quad \text{k-q}_1\text{q}_2 \quad \text{k-q}_2 \end{array} + 2 \begin{array}{c} \text{---} \text{---} \text{---} \\ | \quad | \quad | \\ \text{---} \text{---} \text{---} \end{array} + 2 \begin{array}{c} \text{---} \text{---} \text{---} \\ | \quad | \quad | \\ \text{---} \text{---} \text{---} \end{array} + \dots \\
 & \quad \quad \quad \begin{array}{c} \text{---} \text{---} \text{---} \\ | \quad | \quad | \\ \text{---} \text{---} \text{---} \end{array} + \dots \\
 & \quad \quad \quad \begin{array}{c} \text{---} \text{---} \text{---} \\ | \quad | \quad | \\ \text{---} \text{---} \text{---} \end{array} + \dots
 \end{aligned} \tag{6}$$

Таким чином отримуємо одноразово (верхній індекс) перенормований МО другого порядку (нижній індекс)

$$\begin{aligned}
 \begin{array}{c} \text{S}_1 \quad \text{S}_2 \\ \text{---} \text{---} \text{---} \\ | \quad | \quad | \\ \text{k-q}_1 \quad \text{k-q}_1\text{q}_2 \quad \text{k-q}_2 \end{array} &= M_2^1(\mathbf{k}, \omega) = \sum_{s_1 s_2} \frac{F(\mathbf{k} - \mathbf{q}_1, -s_2) F(\mathbf{k}, -s_1)}{[E_{\mathbf{k}-\mathbf{q}_1} - M_1^1(\mathbf{k} - \mathbf{q}_1, \omega - \Omega_{s_1})]} \\
 & \times \frac{F(\mathbf{k} - \mathbf{q}_1 - \mathbf{q}_2, s_1) F(\mathbf{k} - \mathbf{q}_2, s_2)}{[E_{\mathbf{k}-\mathbf{q}_1-\mathbf{q}_2} - M_1^1(\mathbf{k} - \mathbf{q}_1 - \mathbf{q}_2, \omega - \Omega_{s_1} - \Omega_{s_2})] [E_{\mathbf{k}-\mathbf{q}_2} - M_1^1(\mathbf{k} - \mathbf{q}_2, \omega - \Omega_{s_2})]}
 \end{aligned} \tag{7}$$

У результаті подібного парціального підсумовування у всіх порядках на основі компактної діаграми  для повного МО отримуємо зображення у вигляді безмежного ряду одноразово перенормованих діаграм

$$\begin{aligned}
 \begin{array}{c} \text{---} \text{---} \text{---} \\ | \quad | \quad | \\ \text{---} \text{---} \text{---} \end{array} &= \begin{array}{c} \text{S}_1 \\ \text{---} \text{---} \text{---} \\ | \quad | \\ \text{k-q}_1 \end{array} + \begin{array}{c} \text{S}_1 \quad \text{S}_2 \\ \text{---} \text{---} \text{---} \\ | \quad | \quad | \\ \text{k-q}_1 \quad \text{k-q}_1\text{q}_2 \quad \text{k-q}_2 \end{array} + \begin{array}{c} \text{---} \text{---} \text{---} \\ | \quad | \quad | \\ \text{---} \text{---} \text{---} \end{array} \\
 & + 2 \begin{array}{c} \text{---} \text{---} \text{---} \\ | \quad | \quad | \\ \text{---} \text{---} \text{---} \end{array} + \dots \\
 & \quad \quad \quad \begin{array}{c} \text{---} \text{---} \text{---} \\ | \quad | \quad | \\ \text{---} \text{---} \text{---} \end{array} + \dots \\
 & \quad \quad \quad \begin{array}{c} \text{---} \text{---} \text{---} \\ | \quad | \quad | \\ \text{---} \text{---} \text{---} \end{array} + \dots
 \end{aligned} \tag{8}$$

Аналізуючи діаграмну структуру (8), можна побачити, що після повного одноразового перенормування в ряді діаграм МО в перших двох порядках уже немає некомпактних одноразово перенормованих діаграм. У третьому порядку три з чотирьох діаграм є компактними, а четверта некомпактна. Зрозуміло, що у всіх вищих порядках будуть і компактні, і некомпактні одноразово перенормовані діаграми.

Отже, тепер повний МО можна записати як безмежний ряд одноразово перенормованих складових усіх порядків

$$\begin{aligned}
 M(\mathbf{k}, \omega) &= M_1^1(\mathbf{k}, \omega) + M_2^1(\mathbf{k}, \omega) \\
 & + \sum_{r=3}^{\infty} \left(M_r^1(\mathbf{k}, \omega) + \bar{M}_r^1(\mathbf{k}, \omega) \right),
 \end{aligned} \tag{9}$$

де

$$M_r^1(\mathbf{k}, \omega) = \sum_{\ell=1}^{p_r} M_{r\ell}^1(\mathbf{k}, \omega) \tag{10}$$

— сума внесків усіх (p_r) одноразово перенормованих компактних діаграм r -го порядку,

$$\bar{M}_r^1(\mathbf{k}, \omega) = \sum_{\ell=1}^{\bar{p}_r} \bar{M}_{r\ell}^1(\mathbf{k}, \omega) \tag{11}$$

— сума внесків усіх (\bar{p}_r) одноразово перенормованих некомпактних діаграм r -го порядку.

Увівши очевидне позначення для одноразово перенормованого енергетичного знаменника

$$\overline{\mathbf{k} - \sum_{\ell=1}^n \mathbf{q}_\ell} = \left\{ E^{(1)}_{k - \sum_{\ell=1}^n q_\ell} \right\}^{-1} = \left\{ E_{k - \sum_{\ell=1}^n q_\ell} - M_1^1 \left(\mathbf{k} - \sum_{\ell=1}^n \mathbf{q}_\ell, \omega - \sum_{\ell=1}^n \Omega_{S_\ell} \right) \right\}^{-1}, \quad (12)$$

згідно з правилами діаграмної техніки Пайнса отримуємо аналітичні вирази для одноразово перенормованих складових МО. У перших двох порядках

$$\overline{\mathbf{k} - \mathbf{q}_1} = M_1^1(\mathbf{k}, \omega) = \sum_{s_1} \frac{F(\mathbf{k}, -s_1) F(\mathbf{k} - \mathbf{q}_1, s_1)}{E_{k - q_1}^{(1)}}, \quad (13)$$

$$\overline{\mathbf{k} - \mathbf{q}_1 - \mathbf{q}_2} = M_2^1(\mathbf{k}, \omega) = \sum_{s_1 s_2} \frac{F(\mathbf{k}, -s_1) F(\mathbf{k} - \mathbf{q}_1, -s_2) F(\mathbf{k} - \mathbf{q}_1 - \mathbf{q}_2, s_1) F(\mathbf{k} - \mathbf{q}_2, s_2)}{E_{k - q_1}^{(1)} E_{k - q_1 - q_2}^{(1)} E_{k - q_2}^{(1)}}. \quad (14)$$

Аналогічно записуємо аналітичні вирази діаграм вищих порядків.

З топологічної структури діаграм МО (8) легко побачити, що вона дозволяє виконати друге парціальне підсумовування, основним елементом якого вже є одноразово перенормована компактна діаграма (14).

Справді, безмежну сукупність діаграм у правій частині (8) можна згрупувати у такі ряди, які приводять до двічі перенормованих діаграм

$$\begin{aligned} \overline{\mathbf{k} - \mathbf{q}_1} &= \overline{\mathbf{k} - \mathbf{q}_1} + \overline{\mathbf{k} - \mathbf{q}_1} \overline{\mathbf{k} - \mathbf{q}_1} + \overline{\mathbf{k} - \mathbf{q}_1} \overline{\mathbf{k} - \mathbf{q}_1} \overline{\mathbf{k} - \mathbf{q}_1} + \dots \\ \overline{\mathbf{k} - \mathbf{q}_1 - \mathbf{q}_2} &= \overline{\mathbf{k} - \mathbf{q}_1 - \mathbf{q}_2} + 2 \overline{\mathbf{k} - \mathbf{q}_1 - \mathbf{q}_2} \overline{\mathbf{k} - \mathbf{q}_1 - \mathbf{q}_2} + \dots \\ &\quad + \overline{\mathbf{k} - \mathbf{q}_1 - \mathbf{q}_2} \overline{\mathbf{k} - \mathbf{q}_1 - \mathbf{q}_2} \overline{\mathbf{k} - \mathbf{q}_1 - \mathbf{q}_2} + \dots \end{aligned}$$

У результаті повного подвійного перенормування МО матиме діаграмну форму

$$\begin{aligned} \overline{\mathbf{k} - \mathbf{q}_1 - \mathbf{q}_2} &= \overline{\mathbf{k} - \mathbf{q}_1 - \mathbf{q}_2} + \overline{\mathbf{k} - \mathbf{q}_1 - \mathbf{q}_2} \overline{\mathbf{k} - \mathbf{q}_1 - \mathbf{q}_2} + \overline{\mathbf{k} - \mathbf{q}_1 - \mathbf{q}_2} \overline{\mathbf{k} - \mathbf{q}_1 - \mathbf{q}_2} \overline{\mathbf{k} - \mathbf{q}_1 - \mathbf{q}_2} \\ &\quad + \overline{\mathbf{k} - \mathbf{q}_1 - \mathbf{q}_2} \overline{\mathbf{k} - \mathbf{q}_1 - \mathbf{q}_2} \overline{\mathbf{k} - \mathbf{q}_1 - \mathbf{q}_2} \overline{\mathbf{k} - \mathbf{q}_1 - \mathbf{q}_2} + \dots \\ &\quad + 2 \overline{\mathbf{k} - \mathbf{q}_1 - \mathbf{q}_2} \overline{\mathbf{k} - \mathbf{q}_1 - \mathbf{q}_2} \overline{\mathbf{k} - \mathbf{q}_1 - \mathbf{q}_2} \overline{\mathbf{k} - \mathbf{q}_1 - \mathbf{q}_2} + \dots \end{aligned}, \quad (15)$$

яка відповідає аналітичному виразу

$$M(\mathbf{k}, \omega) = M_1^2(\mathbf{k}, \omega) + M_2^2(\mathbf{k}, \omega) + M_3^2(\mathbf{k}, \omega) + \sum_{r=4}^{\infty} \left(M_r^2(\mathbf{k}, \omega) + \overline{M}_r^2(\mathbf{k}, \omega) \right). \quad (16)$$

Тут першим двом доданкам МО відповідають дві перші компактні діаграми, які з уведенням двічі перенормованого енергетичного знаменника

$$\begin{aligned} \overline{\mathbf{k} - \sum_{\ell=1}^s \mathbf{q}_\ell} &= \left\{ E^{(2)}_{k - \sum_{\ell=1}^s q_\ell} \right\}^{-1} \equiv \left\{ E^{(1)}_{k - \sum_{\ell=1}^s q_\ell} - M_2^1 \left(\mathbf{k} - \sum_{\ell=1}^s \mathbf{q}_\ell, \omega - \sum_{\ell=1}^s \Omega_{S_\ell} \right) \right\}^{-1} = \\ &= \left\{ E_{k - \sum_{\ell=1}^s q_\ell} - M_1^1 \left(\mathbf{k} - \sum_{\ell=1}^s \mathbf{q}_\ell, \omega - \sum_{\ell=1}^s \Omega_{S_\ell} \right) - M_2^1 \left(\mathbf{k} - \sum_{\ell=1}^s \mathbf{q}_\ell, \omega - \sum_{\ell=1}^s \Omega_{S_\ell} \right) \right\}^{-1} \end{aligned} \quad (17)$$

мають аналітичний вигляд

$$\begin{array}{c} \text{---} \overbrace{\text{---}}^{s_1} \text{---} \\ \text{---} \text{---} \end{array} = M_1^2(\mathbf{k}, \omega) = \sum_{s_1} \frac{F(\mathbf{k}, -s_1)F(\mathbf{k} - \mathbf{q}_1, s_1)}{E_{k-q_1}^{(2)}}, \quad (18)$$

$$\begin{array}{c} \text{---} \overbrace{\text{---}}^{s_1} \text{---} \overbrace{\text{---}}^{s_2} \text{---} \\ \text{---} \text{---} \end{array} = M_2^2(\mathbf{k}, \omega) = \sum_{s_1 s_2} \frac{F(\mathbf{k}, -s_1)F(\mathbf{k} - \mathbf{q}_1, -s_2)F(\mathbf{k} - \mathbf{q}_1 - \mathbf{q}_2, s_1)F(\mathbf{k} - \mathbf{q}_2, s_2)}{E_{k-q_1}^{(2)} E_{k-q_1-q_2}^{(2)} E_{k-q_2}^{(2)}}. \quad (19)$$

Доданок третього порядку ($M_3^{(2)}(\mathbf{k}, \omega)$) містить три складових

$$M_3^2(\mathbf{k}, \omega) = M_{3(1)}^2(\mathbf{k}, \omega) + M_{3(2)}^2(\mathbf{k}, \omega) + M_{3(3)}^2(\mathbf{k}, \omega), \quad (20)$$

яким відповідають три компактні двічі перенормовані діаграми третього порядку з ряду (15). Цифровий індекс у дужці біля M послідовно нумерує ці діаграми.

Тепер уже видно загальні закономірності, які спостерігаємо при n -му перенормуванні складових МО. Усі n разів перенормовані діаграми від першого до $(n + 1)$ -го порядку є компактними, а діаграми, починаючи з $(n + 2)$ -го порядку, містять як компактні, так і некомпактні складові.

$$M(\mathbf{k}, \omega) = \sum_{r=1}^{n+1} M_r^n(\mathbf{k}, \omega) + \sum_{r=n+2}^{\infty} \left[M_r^n(\mathbf{k}, \omega) + \overline{M}_r^n(\mathbf{k}, \omega) \right], \quad (21)$$

де

$$M_1^n(\mathbf{k}, \omega) = \sum_{s_1} \frac{F(\mathbf{k}, -s_1)F(\mathbf{k} - \mathbf{q}_1, s_1)}{E_{k-q_1}^{(n)}} = \begin{array}{c} \overbrace{\text{---}}^{s_1} \\ \text{---} \text{---} \end{array}, \quad (22)$$

$$M_{n+1}^n(\mathbf{k}, \omega) = \sum_{s=1}^{\tau_{n+1}} M_{n+1(s)}^n(\mathbf{k}, \omega) = \begin{array}{c} \overbrace{\text{---}}^n \\ \text{---} \text{---} \end{array} + \dots + \begin{array}{c} \overbrace{\text{---}}^n \\ \text{---} \text{---} \end{array}. \quad (23)$$

Тут τ_{n+1} — кількість топологічно нееквівалентних діаграм у $(n + 1)$ -му порядку, а n разів перенормовані енергетичні знаменники в загальному випадку мають вигляд

$$E_{k-\sum_{\ell=1}^s q_\ell}^{(n)} = \omega - \mathcal{E}_{k-\sum_{\ell=1}^s q_\ell} - \sum_{\ell=1}^s \Omega_{s_\ell} - \sum_{r=1}^n M_r^{n-1} \left(\mathbf{k} - \sum_{\ell=1}^s \mathbf{q}_\ell, \omega - \sum_{\ell=1}^s \Omega_{s_\ell} \right), \quad (24)$$

тобто містять суму всіх компактних діаграм $(n - 1)$ (раз перенормованого МО).

При повному перенормуванні ($n \rightarrow \infty$) у МО залишаються лише повністю перенормовані компактні діаграми (ППКД)

$$M(\mathbf{k}, \omega) = \lim_{n \rightarrow \infty} \sum_{r=1}^{n+1} M_r^n(\mathbf{k}, \omega) = \sum_{r=1}^{\infty} M_r(\mathbf{k}, \omega). \quad (25)$$

Тут

$$\begin{aligned} M_1(\mathbf{k}, \omega) &= \begin{array}{c} \overbrace{\text{---}}^{s_1} \\ \text{---} \text{---} \end{array} = \lim_{n \rightarrow \infty} \begin{array}{c} \overbrace{\text{---}}^{s_1} \\ \text{---} \text{---} \end{array} \\ &= \lim_{n \rightarrow \infty} \sum_{s_1} \frac{F(\mathbf{k}, -s_1)F(\mathbf{k} - \mathbf{q}_1, s_1)}{E_{k-q_1}^{(n-1)}} = \sum_{s_1} \frac{F(\mathbf{k}, -s_1)F(\mathbf{k} - \mathbf{q}_1, s_1)}{E_{k-q_1} - \lim_{n \rightarrow \infty} \sum_{r=1}^n M_r^{n-1}(\mathbf{k} - \mathbf{q}_1, \omega - \Omega_{s_1})} \\ &= \sum_{s_1} \frac{F(\mathbf{k}, -s_1)F(\mathbf{k} - \mathbf{q}_1, s_1)}{E_{k-q_1} - M(\mathbf{k} - \mathbf{q}_1, \omega - \Omega_{s_1})} = \sum_{s_1} F(\mathbf{k}, -s_1)F(\mathbf{k} - \mathbf{q}_1, s_1)G(\mathbf{k} - \mathbf{q}_1, \omega - \Omega_{s_1}) \end{aligned} \quad (26)$$

— ППКД МО першого порядку за кількістю фононних ліній у діаграмі, $G(\mathbf{k}, \omega)$ — функція Гріна квазічастинок. Ця діаграма у своєму порядку єдина.

У другому порядку є також лише одна ППКД МО

$$\begin{aligned}
 M_2(\mathbf{k}, \omega) &= \frac{\text{---} \overset{s_1}{\curvearrowright} \text{---} \overset{s_2}{\curvearrowright} \text{---}}{\mathbf{k}-\mathbf{q}_1 \quad \mathbf{k}-\mathbf{q}_1\mathbf{q}_2 \quad \mathbf{k}-\mathbf{q}_2} \sum_{s_1 s_2} \frac{F(\mathbf{k}, -s_1)F(\mathbf{k}-\mathbf{q}_1, -s_2)}{[E_{\mathbf{k}-\mathbf{q}_1} - M(\mathbf{k}-\mathbf{q}_1, \omega - \Omega_{s_1})]} \\
 &\times \frac{F(\mathbf{k}-\mathbf{q}_1-\mathbf{q}_2, s_1)F(\mathbf{k}-\mathbf{q}_2, s_2)}{[E_{\mathbf{k}-\mathbf{q}_1-\mathbf{q}_2} - M(\mathbf{k}-\mathbf{q}_1-\mathbf{q}_2, \omega - \Omega_{s_1} - \Omega_{s_2})][E_{\mathbf{k}-\mathbf{q}_2} - M(\mathbf{k}-\mathbf{q}_2, \omega - \Omega_{s_2})]} \\
 &= \sum_{s_1 s_2} F(\mathbf{k}, -s_1)F(\mathbf{k}-\mathbf{q}_1, -s_2)F(\mathbf{k}-\mathbf{q}_1-\mathbf{q}_2, s_1)F(\mathbf{k}-\mathbf{q}_2, s_2) \\
 &\times G(\mathbf{k}-\mathbf{q}_1, \omega - \Omega_{s_1})G(\mathbf{k}-\mathbf{q}_1-\mathbf{q}_2, \omega - \Omega_{s_1} - \Omega_{s_2})G(\mathbf{k}-\mathbf{q}_2, \omega - \Omega_{s_2}).
 \end{aligned} \tag{27}$$

У третьому порядку є три ППКД МО

$$M_3(\mathbf{k}, \omega) = \frac{\text{---} \overset{s_1}{\curvearrowright} \text{---} \overset{s_2}{\curvearrowright} \text{---} \overset{s_3}{\curvearrowright} \text{---}}{\mathbf{k}-\mathbf{q}_1 \quad \mathbf{k}-\mathbf{q}_1\mathbf{q}_2 \quad \mathbf{k}-\mathbf{q}_2 \quad \mathbf{k}-\mathbf{q}_2\mathbf{q}_3 \quad \mathbf{k}-\mathbf{q}_3} + \frac{\text{---} \overset{s_1}{\curvearrowright} \text{---} \overset{s_2}{\curvearrowright} \text{---} \overset{s_3}{\curvearrowright} \text{---}}{\mathbf{k}-\mathbf{q}_1 \quad \mathbf{k}-\mathbf{q}_1\mathbf{q}_2 \quad \mathbf{k}-\mathbf{q}_1\mathbf{q}_2\mathbf{q}_3 \quad \mathbf{k}-\mathbf{q}_2\mathbf{q}_3 \quad \mathbf{k}-\mathbf{q}_3} + 2 \frac{\text{---} \overset{s_1}{\curvearrowright} \text{---} \overset{s_2}{\curvearrowright} \text{---} \overset{s_3}{\curvearrowright} \text{---}}{\mathbf{k}-\mathbf{q}_1 \quad \mathbf{k}-\mathbf{q}_1\mathbf{q}_2 \quad \mathbf{k}-\mathbf{q}_1\mathbf{q}_2\mathbf{q}_3 \quad \mathbf{k}-\mathbf{q}_1\mathbf{q}_3 \quad \mathbf{k}-\mathbf{q}_3},$$

для яких, як видно з двох діаграм попередніх порядків, аналітичний вираз отримуємо за правилами Пайнса

$$\begin{aligned}
 M_3(\mathbf{k}, \omega) &= \sum_{s_1 s_2 s_3} F(\mathbf{k}, -s_1)F(\mathbf{k}-\mathbf{q}_1, -s_2)F(\mathbf{k}-\mathbf{q}_3, s_3) \\
 &\times G(\mathbf{k}-\mathbf{q}_1, \omega - \Omega_{s_1})G(\mathbf{k}-\mathbf{q}_1-\mathbf{q}_2, \omega - \Omega_{s_1} - \Omega_{s_2})G(\mathbf{k}-\mathbf{q}_3, \omega - \Omega_{s_3}) \\
 &\times \left\{ F(\mathbf{k}-\mathbf{q}_1-\mathbf{q}_2, s_1)F(\mathbf{k}-\mathbf{q}_2, -s_3)F(\mathbf{k}-\mathbf{q}_2-\mathbf{q}_3, s_2)G(\mathbf{k}-\mathbf{q}_2, \omega - \Omega_{s_2})G(\mathbf{k}-\mathbf{q}_2-\mathbf{q}_3, \omega - \Omega_{s_2} - \Omega_{s_3}) \right. \\
 &+ F(\mathbf{k}-\mathbf{q}_1-\mathbf{q}_2, -s_3)G\left(\mathbf{k}-\sum_{\ell=1}^3 \mathbf{q}_\ell, \omega - \sum_{\ell=1}^3 \Omega_{s_\ell}\right) \\
 &\times \left[F\left(\mathbf{k}-\sum_{\ell=1}^3 \mathbf{q}_\ell, s_1\right)F(\mathbf{k}-\mathbf{q}_2-\mathbf{q}_3, s_2)G(\mathbf{k}-\mathbf{q}_2-\mathbf{q}_3, \omega - \Omega_{s_2} - \Omega_{s_3}) \right. \\
 &\left. \left. + 2F\left(\mathbf{k}-\sum_{\ell=1}^3 \mathbf{q}_\ell, s_2\right)F(\mathbf{k}-\mathbf{q}_1-\mathbf{q}_3, -s_1)G(\mathbf{k}-\mathbf{q}_1-\mathbf{q}_3, \omega - \Omega_{s_1} - \Omega_{s_3}) \right] \right\}.
 \end{aligned} \tag{28}$$

Тепер очевидно, що аналітичні вирази для ППКД МО довільного порядку отримуємо за правилами діаграмної техніки Пайнса. Залишається ще встановити правила побудови всіх діаграм довільного n -го порядку і таким чином отримати формально точний алгоритм розрахунку повного МО, а отже, і фур'є-образу функції Гріна.

ІІІ. ІНТЕГРАЛЬНО-ФУНКЦІОНАЛЬНЕ ЗОБРАЖЕННЯ ПОВНОГО МО У ВИГЛЯДІ БЕЗМЕЖНОГО РОЗГАЛУЖЕНОГО ІНТЕГРАЛЬНОГО ДРОБУ (БРІД)

ППКД кількох перших порядків отримуємо безпосередньо виключенням усіх перенормовуючих діаграм МО так, як це щойно було зроблено для ППКД МО трьох перших порядків. Однак для зображення діаграм високого порядку цей спосіб малоконструктивний через громіздкість. Необхідний алгоритм побудови діаграм довільного n -го порядку легко отримати способом графічної побудови.

Із ППКД МО першого порядку видно, що ППКД МО другого порядку можна отримати графічною побудовою. Для цього вершини діаграми першого порядку перенумеруємо зліва направо так, як показано на діаграмі (рис. 2а).

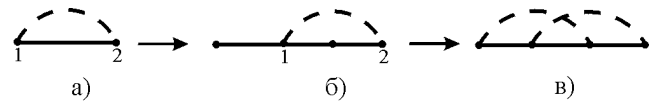


Рис. 2.

Далі до першої вершини долучаємо суцільну лінію з додатковою вершиною зліва, а між першою і другою вершинами зображаємо другу додаткову вершину (рис. 2б). З'єднавши дві додаткові вершини штриховою лінією і опустивши цифрові індекси, отримуємо ППКД МО другого порядку (рис. 2в).

Три ППКД третього порядку отримуємо з діаграми другого порядку так. Зображаємо три діаграми другого порядку (за кількістю суцільних ліній

у цій діаграмі) з перенумерованими зліва направо вершинами (рис. 3а). До кожної з діаграм долучаємо суцільну лінію з додатковою вершиною зліва і ще з однією додатковою вершиною в кожній з отриманих діаграм послідовно: у першій між вершинами 1 і 2, у другій — між 2 і 3, у третій — між 3 і 4 (рис. 3б). Додаткові вершини на кожній з діаграм з'єднуємо штриховими лініями, цифрові індекси опускаємо, а до несиметричної діаграми додаємо дзеркально-симетричну або (що еквівалентно) її домножуємо на множник 2 (рис. 3в)

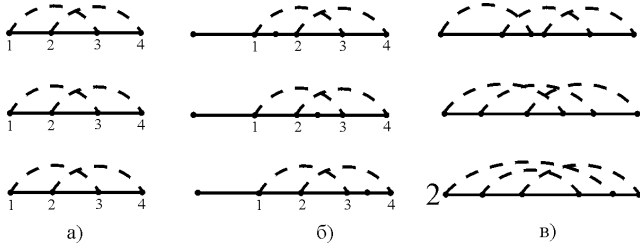


Рис. 3.

Аналогічним методом ППКД $(n+1)$ -го порядку отримуємо з ППКД n -го порядку. Для цього кожну симетричну й кожну пару дзеркально-симетричних діаграм n -го порядку потрібно зобразити $2n$ разів, перенумерувавши їхні вершини зліва направо від 1 до $2n$ і долучивши до кожної по додатковій G -лінії з крайньою зліва вершиною та другою додатковою вершиною між суміжними вершинами діаграмного блоку n -го порядку так, щоб друга додаткова вершина в першій діаграмі $(n+1)$ -го порядку знаходилась між 1 і

2-ю вершинами блоку діаграми n -го порядку, друга — між 2-ю і 3-ю вершинами і т.д., а остання — між $(2n - 1)$ -ю і $(2n)$ -ю вершинами блоку діаграми n -го порядку. З'єднавши дві додаткові вершини штриховими лініями на кожній з діаграм, отримуємо всі ППКД МО $(n+1)$ -го порядку. Одержані при цьому несиметричні діаграми або подвоюються, або (що еквівалентно) до них додається дзеркально-симетрична діаграма. Так, наприклад, згідно зі встановленими правилами, з двох дзеркально-симетричних діаграм третього порядку одержуємо такі ППКД четвертого порядку (рис. 4):

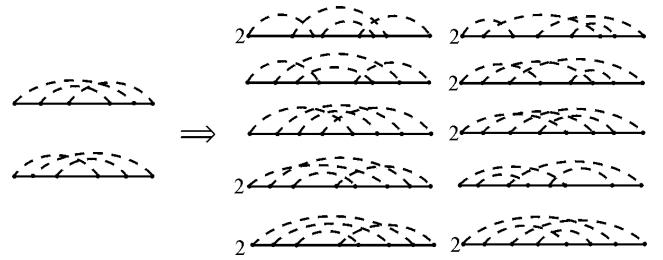


Рис. 4.

Оскільки алгоритм побудови ППКД довільного порядку встановлено і відомі правила зіставлення з діаграмами аналітичних виразів, то з урахуванням зв'язку функцій Гріна з МО через рівняння Дайсона отримуємо точне зображення повного МО у вигляді безмежного інтегрально-функціонального ряду (БІФР). З точністю до третього порядку включно МО має вигляд:

$$\begin{aligned}
 M(k) = & \sum_{s_1} \frac{F(\mathbf{k}, -s_1)F(\mathbf{k} - \mathbf{q}_1, s_1)}{E_{k-s_1} - M(k-s_1)} \\
 & + \sum_{s_1 s_2} \frac{F(\mathbf{k}, -s_1)F(\mathbf{k} - \mathbf{q}_1, -s_2)F(\mathbf{k} - \mathbf{q}_1 - \mathbf{q}_2, s_1)F(\mathbf{k} - \mathbf{q}_2, s_2)}{[E_{k-s_1} - M(k-s_1)][E_{k-s_2} - M(k-s_2)][E_{k-s_1-s_2} - M(k-s_1-s_2)]} \\
 & + \sum_{s_1 s_2 s_3} \frac{F(\mathbf{k}, -s_1)F(\mathbf{k} - \mathbf{q}_1, -s_2)F(\mathbf{k} - \mathbf{q}_3, s_3)}{[E_{k-s_1} - M(k-s_1)][E_{k-s_3} - M(k-s_3)][E_{k-s_1-s_2} - M(k-s_1-s_2)]} \\
 & \times \left\{ \frac{F(\mathbf{k} - \mathbf{q}_1 - \mathbf{q}_2, s_1)F(\mathbf{k} - \mathbf{q}_2, -s_3)F(\mathbf{k} - \mathbf{q}_2 - \mathbf{q}_3, s_2)}{[E_{k-s_2} - M(k-s_2)][E_{k-s_2-s_3} - M(k-s_2-s_3)]} \right. \\
 & + \frac{F(\mathbf{k} - \mathbf{q}_1 - \mathbf{q}_2, -s_3)}{[E_{k-s_1-s_2-s_3} - M(k-s_1-s_2-s_3)]} \left\{ \frac{F(\mathbf{k} - \mathbf{q}_1 - \mathbf{q}_2 - \mathbf{q}_3, -s_1)F(\mathbf{k} - \mathbf{q}_2 - \mathbf{q}_3, s_2)}{E_{k-s_2-s_3} - M(k-s_2-s_3)} \right. \\
 & \left. \left. + 2 \frac{F(\mathbf{k} - \mathbf{q}_1 - \mathbf{q}_2 - \mathbf{q}_3, s_2)F(\mathbf{k} - \mathbf{q}_1 - \mathbf{q}_3, s_1)}{E_{k-s_1-s_3} - M(k-s_1-s_3)} \right\} \right\} + \dots
 \end{aligned} \tag{29}$$

Тепер очевидно, що аналітичний вираз повного МО у вигляді безмежного інтегрально-функціонального ряду (БІФР) можна отримати безпосередньо з ППКД за правилами Пайнса з простою модифікацією, а саме — з довільною суцільною лінією ППКД потрібно зіставляти енергетичний множник:

$$\frac{k - \sum_{l=1}^n s_l}{E_{k - \sum_{l=1}^n s_l} - M\left(\mathbf{k} - \sum_{l=1}^n \mathbf{q}_l\right)}^{-1} \tag{30}$$

Хоч у вищих порядках МО кількість ППКД зростає досить швидко, проте простота знайденого алгоритму побудови діаграм $(n+1)$ -го порядку за діаграмами n -го порядку та елементарні правила зіставлення з діаграмами аналітичних виразів дозволяють запрограмувати ці обидві процедури і за допомогою ЕОМ отримувати МО в таких високих порядках, які лімітуються лише можливостями її швидкодії.

Зі структури МО видно, що існує можливість подати його в еквівалентному, але дуже зручному для аналітичних досліджень і практичних розрахунків вигляді безмежного розгалуженого інтегрального дробу (БРІД). Справді, в енергетичні знаменники всіх складових МО (29) входять такі ж МО, але зі змішаними аргументами, для кожного з яких також справедливі рівняння:

$$\begin{aligned}
 M\left(k - \sum_{l=1}^n s_l\right) = & \sum_{s_{n+1}} \frac{F\left(\mathbf{k} - \sum_{l=1}^n \mathbf{q}_l, -s_{n+1}\right) F\left(\mathbf{k} - \sum_{l=1}^{n+1} \mathbf{q}_l, s_{n+1}\right)}{E_{k - \sum_{l=1}^{n+1} s_l} - M\left(k - \sum_{l=1}^{n+1} s_l\right)} \\
 & + \sum_{s_{n+1}, s_{n+2}} \frac{F\left(\mathbf{k} - \sum_{l=1}^n \mathbf{q}_l, -s_{n+1}\right) F\left(\mathbf{k} - \sum_{l=1}^{n+1} \mathbf{q}_l, -s_{n+2}\right)}{\left[E_{k - \sum_{l=1}^{n+1} s_l} - M\left(k - \sum_{l=1}^{n+1} s_l\right) \right] \left[E_{k - \sum_{l=1}^{n+1} s_l - s_{n+2}} - M\left(k - \sum_{l=1}^{n+1} s_l - s_{n+2}\right) \right]} \\
 & \times \frac{F\left(\mathbf{k} - \sum_{l=1}^{n+2} \mathbf{q}_l, s_{n+1}\right) F\left(\mathbf{k} - \sum_{l=1}^n \mathbf{q}_l - \mathbf{q}_{n+2}, s_{n+2}\right)}{\left[E_{k - \sum_{l=1}^{n+2} s_l} - M\left(k - \sum_{l=1}^{n+2} s_l\right) \right]} + \dots \quad (n = 1, 2, \dots, \infty).
 \end{aligned} \tag{31}$$

Тепер зображення МО у вигляді БРІД отримати просто. Спочатку з рівнянь (31) знаходимо $M(k-s)$, що дозволяє підстановкою в праву частину МО (30) виключити з його енергетичних множників усі МО з одноразово зміщеними аргументами. Потім з рівнянь (31) знаходимо $M(k-s_1-s_2)$ і аналогічним до попереднього способом з МО (30) виключаються всі МО з дворазово зміщеними аргументами. Така n -разова рекурсивна процедура приводить до зображення МО у вигляді БРІД, що містить у собі МО з аргументами, які зміщені не менше ніж $(n+1)$ раз. Зрозуміло, що при $n \rightarrow \infty$ в енергетичних знаменниках зникають усі МО зі зміщеними аргументами і залишаються лише енергії незваємодіючих квазічастинок та фононів, унаслідок чого шуканий МО отримує вигляд повного БРІД. З урахуванням кількох гілок і доданків відповідних рядів МО у зображенні БРІД виглядає так:

$$\begin{aligned}
 M(k) = & \sum_{s_1} \frac{F(\mathbf{k}, -s_1) F(\mathbf{k} - \mathbf{q}_1, s_1)}{E_{k-s_1} - \sum_{s_2} \frac{F(\mathbf{k} - \mathbf{q}_1, -s_2) F(\mathbf{k} - \mathbf{q}_1 - \mathbf{q}_2, s_2)}{\left[E_{k-s_1-s_2} - \sum_{s_3} \frac{F(\mathbf{k} - \mathbf{q}_1 - \mathbf{q}_2, -s_3) F(\mathbf{k} - \mathbf{q}_1 - \mathbf{q}_2 - \mathbf{q}_3, s_3)}{\left(E_{k-s_1-s_2-s_3} - \dots - \right.} \right.} + \\
 & - \sum_{s_n} \frac{F\left(\mathbf{k} - \sum_{l=1}^n \mathbf{q}_l, -s_{n+1}\right) F\left(\mathbf{k} - \sum_{l=1}^{n+1} \mathbf{q}_l, s_{n+1}\right)}{E_{k - \sum_{l=1}^{n+1} s_l} - \dots} \left. \right) \\
 & + \sum_{s_2, s_3} \frac{F(\mathbf{k} - \mathbf{q}_1, -s_2) F(\mathbf{k} - \mathbf{q}_1 - \mathbf{q}_2, -s_3) F(\mathbf{k} - \mathbf{q}_1 - \mathbf{q}_2 - \mathbf{q}_3, s_2) F(\mathbf{k} - \mathbf{q}_1 - \mathbf{q}_3, s_3)}{\left[E_{k-s_1-s_2} - \sum_{s_4} \dots \right] \left[E_{k-s_1-s_3} - \sum_{s_4} \dots \right] \left[E_{k-s_1-s_2-s_3} - \sum_{s_4} \dots \right]} + \dots \left. \right] \\
 & + \sum_{s_1 s_2} \frac{F(\mathbf{k}, -s_1) F(\mathbf{k} - \mathbf{q}_1, -s_2) F(\mathbf{k} - \mathbf{q}_1 - \mathbf{q}_2, s_1) F(\mathbf{k} - \mathbf{q}_2, s_2)}{\left[E_{k-s_1} - \sum_{s_3} \frac{F(\mathbf{k} - \mathbf{q}_1, -s_3) F(\mathbf{k} - \mathbf{q}_1 - \mathbf{q}_3, s_3)}{E_{k-s_1-s_3} - \sum_{s_4} \dots} \right] + \dots}
 \end{aligned}$$

$$\begin{aligned} & \times \left[E_{k-s_2} - \sum_{s_3} \frac{F(\mathbf{k} - \mathbf{q}_2, -s_3) F(\mathbf{k} - \mathbf{q}_2 - \mathbf{q}_3, s_3)}{E_{k-s_2-s_3} - \sum_{s_4} \dots} + \dots \right]^{-1} \\ & \times \left[E_{k-s_1-s_2} - \sum_{s_3} \frac{F(\mathbf{k} - \mathbf{q}_1 - \mathbf{q}_2, -s_3) F(\mathbf{k} - \mathbf{q}_1 - \mathbf{q}_2 - \mathbf{q}_3, s_3)}{E_{k-s_1-s_2-s_3} - \sum_{s_4} \dots} + \dots \right]^{-1} + \dots \end{aligned} \quad (32)$$

Оскільки алгоритм знаходження МО у вигляді БРІД з його зображення у формі БІФР рекурсивний і простий, то за допомогою ЕОМ отримуємо аналітичний вигляд МО з урахуванням такого високого порядку, який обмежується лише можливостями швидкодії ЕОМ.

Як видно з МО у формі БРІД (32), через безмежне перенормування всіх енергетичних множників він, на відміну від МО в перенормованому вигляді, уже не містить нефізичних особливостей при будь-яких енергіях, що дозволяє використовувати його не лише для аналізу перенормування основного, але і збуджених станів електрон (екситон)-фононних систем при довільних величинах зв'язку з урахуванням багатофононних процесів.

Застосування знайденого зображення МО в інтегрально-функціональному чи у вигляді БРІД до конкретних задач буде здійснено в наступних роботах.

[1] А. А. Абрикосов, Л. П. Горьков, И. Е. Дзялошинский, *Методы квантовой теории поля в статистической физике* (Физматгиз, Москва, 1962).

[2] D. Pines, in *Polarons and Excitons*, (Plenum Press, N.Y., 1962) p. 155-170.

INTEGRAL-FUNCTIONAL REPRESENTATION OF MASS OPERATOR OF QUASIPARTICLES INTERACTING WITH POLARIZATIONAL PHONONS AT $T = 0$ K

M. V. Tkach

*Chernivtsi National University, Department of Theoretical Physics,
2 Kotsubinsky Str., 274012, Chernivtsi, Ukraine*

The integral-functional representation of mass operator of spinless quasiparticles interacting with polarizational phonons at $T = 0$ K is obtained for the first time. This representation is equivalent to the infinite branched integral fraction. It does not depend on the binding force and effectively takes into account the many phonon processes.